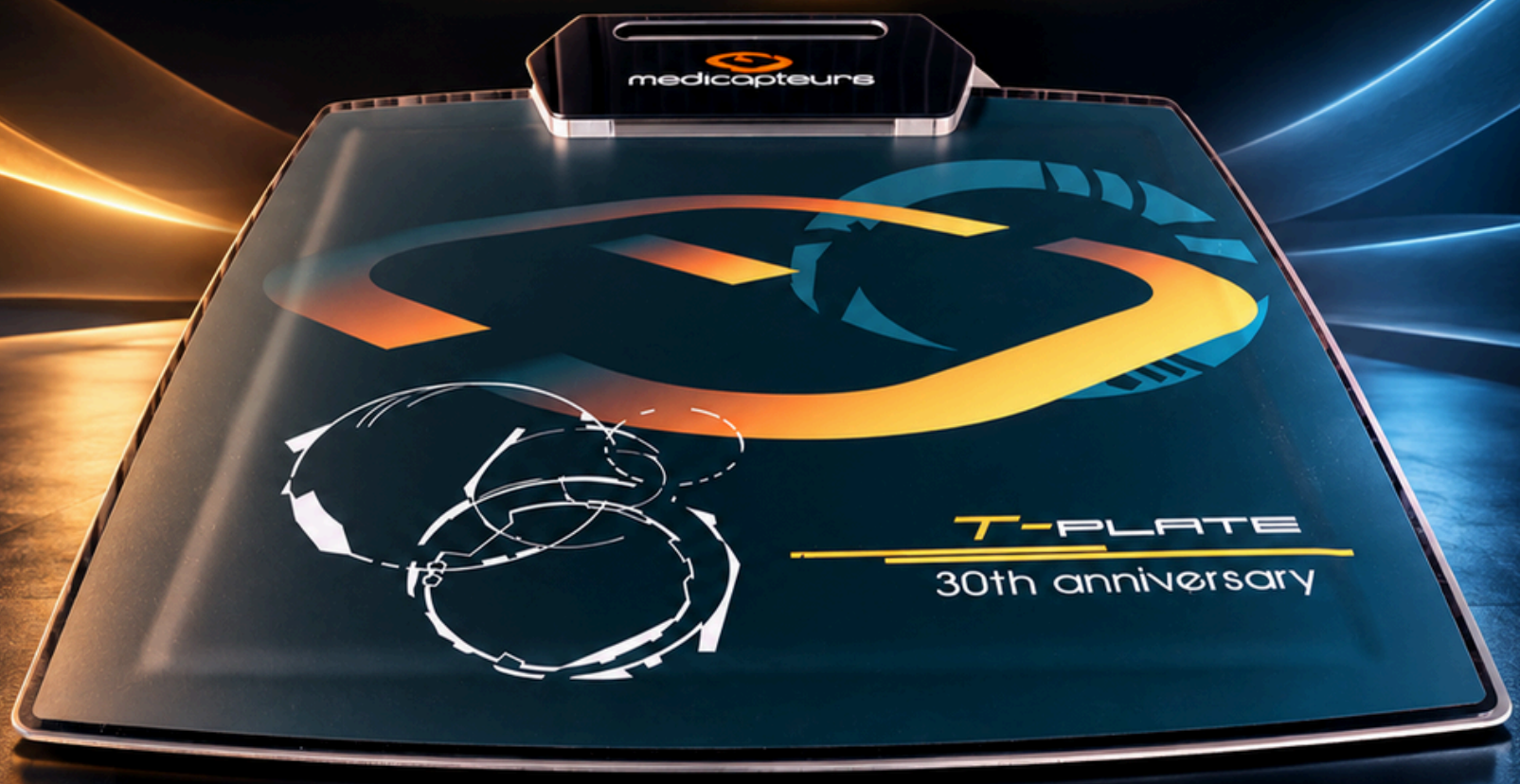
より広い有効計測エリアと多彩な解析機能を備えた、高機能足底圧計測プラットフォーム

# T-Plate 30th




**T-Plate 30は、**
**標準モデルであるT-Plateと比較して有効計測エリアを50%拡大（500mm×500mm）し、**
**さらにすべてのオプション機能を搭載したソフトウェアを組み合わせたモデルです。**

多数の圧力センサーにより足底圧分布を**可視化・定量化**する
足底圧計測プラットフォームです。
**静的・動的計測**に対応し、圧力分布や荷重、歩行時の変化などを
詳細に解析できます。
歩行・足部機能・バイオメカニクスなど、**幅広い研究に活用**されています。

## 研究使用例

### 外反母趾における足底圧・接地面積の研究



外反母趾を有する対象者と対照群を比較し、足底圧分布や接地面積、最大足底圧などの違いを評価する研究に使用されています。

### 母趾機能と歩行時足底圧分布の研究



母趾の背屈制限などの機能的な特徴と、歩行時の足底圧分布との関係を評価する研究に使用されています。

### 歩行時の足部アライメント・荷重分布の研究



歩行時の足部アライメント（足部進行角など）と、足底の荷重分布の関係を評価する研究に使用されています。

### 足部姿勢と身体姿勢の関連研究



足部の姿勢や足底圧分布と、全身の身体姿勢（姿勢アライメント）との関連を評価する研究に使用されています。

### 運動介入による姿勢制御・バランス研究



トレーニングや運動介入の前後で、姿勢制御やバランス指標（重心動揺など）の変化を評価する研究に使用されています。

### 立位保持時の足底圧変化の研究



立位保持中の時間経過に伴う足底圧の変化や荷重分布を評価する研究に使用されています。

### 履物による足底圧軽減効果の研究



裸足・通常の履物・機能性のある履物など、異なる条件下での足底圧を比較し、足底圧の軽減効果を評価する研究に使用されています。

### 小児における姿勢制御の研究



小児を対象に、静的・動的な足底圧分布や重心動揺などの姿勢制御指標を評価する研究に使用されています。

# T-Plate30t ソフトウェア

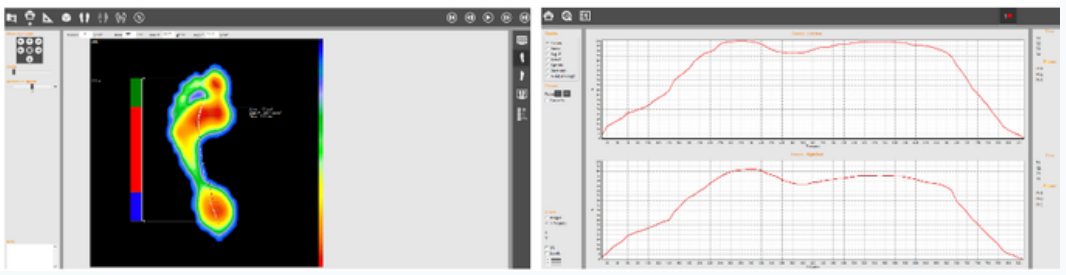
## 静的解析

- 圧力中心（CoP）を含む静的足底圧マッピング
- 最大圧力・平均圧力・荷重分布の算出
- 多彩な表示形式（サーモグラフィック、等圧線、3Dなど
- 長さ・角度・圧力・面積などの計測
- 1：1スケールでのレポート印刷



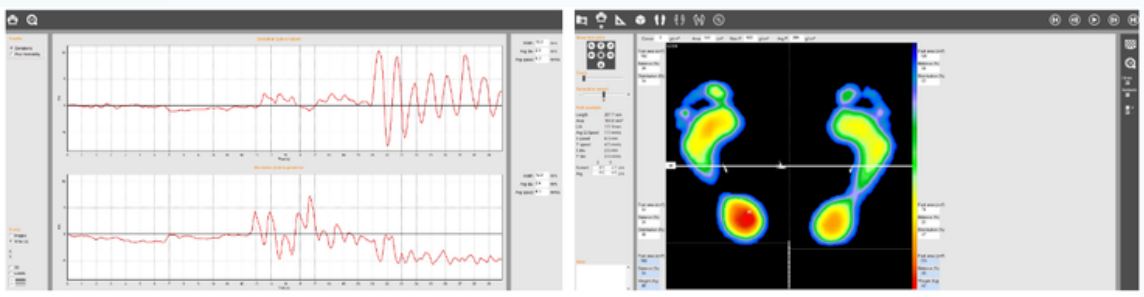
## 動的解析

- 動画表示およびフレーム単位での解析
- 動的データの全体表示
- 歩行ライン（Gait Line）の表示
- 各種数値の算出およびグラフ表示



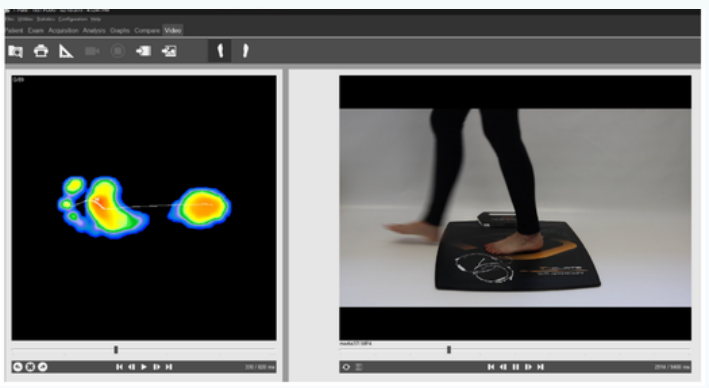
## 姿勢解析

- スタトキネシグラム（重心動揺軌跡）およびスタビログラム
- 国際的な不安定性評価パラメータ
- Altuglass製ポジショナー（オプション）



## 動画連携

- 足底圧データと動画の自動同期
- 角度・長さの計測ツール



# 仕様

| 機械仕様 | |
|---|---|
| 外形寸法（長さ × 幅 × 高さ） | 710 × 610 × 22 mm |
| 厚さ（センサー部） | 8 mm |
| 有効計測エリア | 500 × 500 mm |
| 重量 | 3.6 kg |

| 電気・センサー仕様 | |
|---|---|
| センサー方式 | 抵抗式センサー |
| センサーサイズ | 7.8 × 7.8 mm |
| センサー数 | 4,096個（64 × 64） |
| 使用温度範囲 | −40 ～ +85℃ |
| センサー寿命 | 300万回以上の作動 |
| 最大圧力 | 100 N/cm² |
| PC／プラットフォーム接続 | USB |
| 電源 | USB |
| データ取得周波数 | 最大 100 Hz |
| A/D変換 | 8 bit |

株式会社 LeapEdge